

4. 結論 本稿では、周辺地形を考慮した多々羅大橋の全橋模型試験結果とがスト応答解析結果の対比を行った。気流特性については、風洞試験値を反映し、特に空間相関の評価については、文献2)の簡易式を導入した。それにより、風洞試験値に比較的よく対応した解析値が得られた。なお、水平偏角36°のケースについても、本論文の方法を適用して、良好な結果を得ている。講演時に両ケースの詳細を発表する予定である。

参考文献 1) 田中, 山村, 藤原, 南條: 構造工学論文集, 37A, 1991., pp. 1029-1038

2) 畑中, 小笠原, 勝地, 山村: 土木学会第50回年次講演会講演概要集, 1995.

表1 解析条件

| 解析条件 | |
|-----------------|---|
| 空気密度 | $\rho = 0.131 \text{ (kg} \cdot \text{s}^2 / \text{m}^4\text{)}$ |
| べき指数 | 1/7 |
| 気流の ノーワーストトル | 計測値 桁ならびに塔位置 に沿った乱れの 変化を考慮 |
| ティケイファクター | 横軸方向→5 鉛直方向→8 |
| 空力アドミタンス | 抗力成分→Davenport 揚力成分→简易Sears関数 |
| 構造減衰 (対数減衰率) | 水平たわみ $\delta = 0.0114$ 鉛直たわみ $\delta = 0.0281$ ねじれ $\delta = 0.0354$ |
| 静的空気力係数 | 主塔: $C_D = 1.2, 0.6$ ケーブル: $C_D = 1.2$ 主桁: $C_D = 0.939$ $C_L = 0.0265$ $C_M = -0.0073$ $dC_D/d\alpha = 0.029$ $dC_L/d\alpha = 6.217$ $dC_M/d\alpha = 1.303$ |
| 非定常空気力 係数 | 計測値 (H_1^*, A_z^*) |
| 考慮する振動次数 | 30次 |

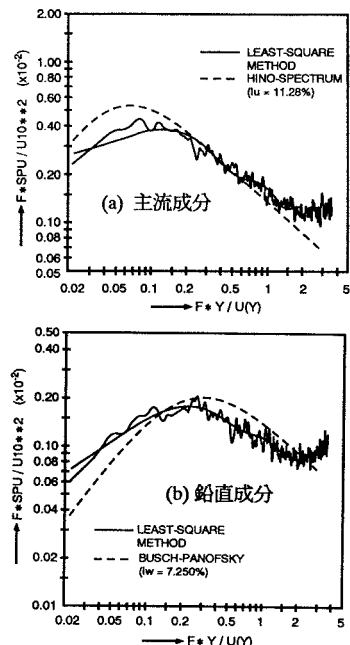


図1 気流変動のパワースペクトル

表2 積分スケールと f_0 (いずれも実橋換算値)

| | 気流成分 | 積分スケール(m) | f_0 (Hz) |
|------|------|------------------|------------|
| 橋軸方向 | 主流 | $L_{Y,w} = 34.6$ | 0.1918 |
| | 鉛直 | $L_{Y,w} = 15.2$ | 0.4366 |
| 鉛直方向 | 主流 | $L_{Z,w} = 37.9$ | 0.1094 |
| | 鉛直 | $L_{Z,w} = 46.6$ | 0.0890 |

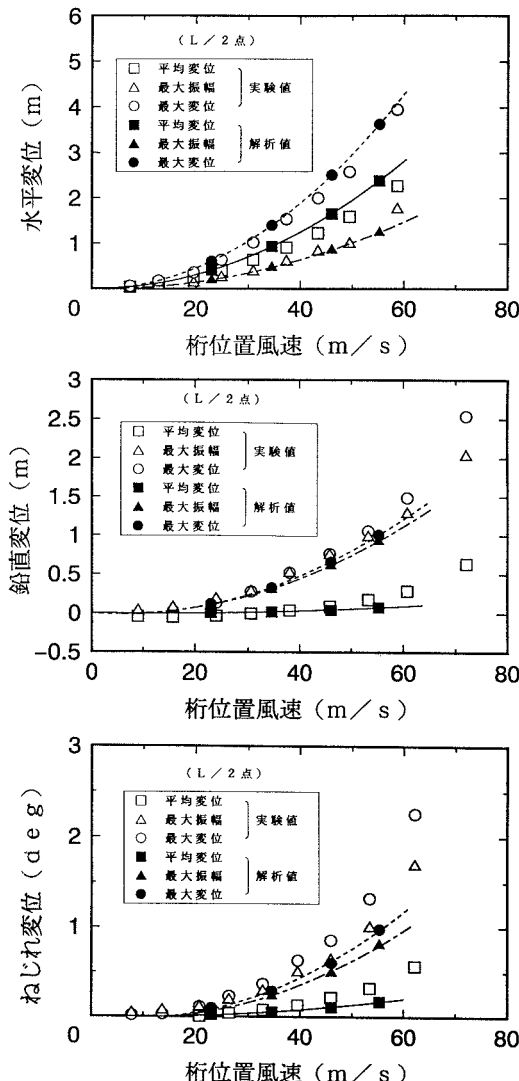


図2 風洞試験値と解析値の比較